

3.B 補足 - 回転波動関数と選択則

図 3.4, 3.8: 回転波動関数 (回転角 θ の関数) の極性を示したもの、
 $\text{Re}(\psi)$ は波動関数の実数部
 (詳細は「Atkins 物理化学」12 章 12.6, 12.7 節を参照)

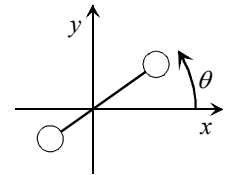


図 3.b1 回転座標 θ

[一次元回転子の波動関数]

ここでは簡単のために、平面内 (二次元空間) に束縛された一次元回転子の波動関数を使って説明する。(選択則の結果は二次元回転子でも同じ)

$$\begin{aligned} \psi_J(\theta) &= (2\pi)^{-1/2} e^{iJ\theta} \\ &= (2\pi)^{-1/2} (\cos J\theta + i \sin J\theta) \end{aligned} \quad (3.b1)$$

→ 図 3.b2: ($J=0, 1, 2$ の場合)

[双極子モーメントの x 軸 (y 軸) への射影成分]

$$\begin{aligned} \mu_x &= \mu \cos \theta \\ \mu_y &= \mu \sin \theta \end{aligned} \quad (3.b2)$$

→ 図 3.b3

[遷移双極子モーメントと純回転遷移選択則]

図 3.b4: $\int \psi_1^* \mu \psi_0 d\tau \neq 0$

図 3.b5: $\int \psi_2^* \mu \psi_0 d\tau = 0$

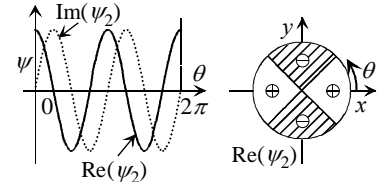
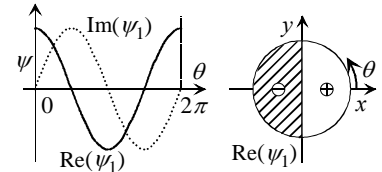
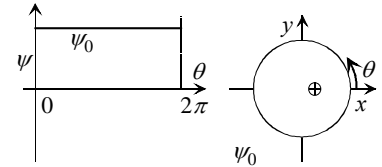


図 3.b2 回転波動関数 (一次元回転子)

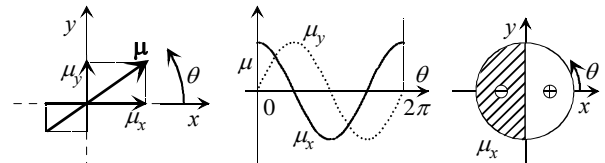


図 3.b3 双極子モーメントの x 軸 (y 軸) への射影成分

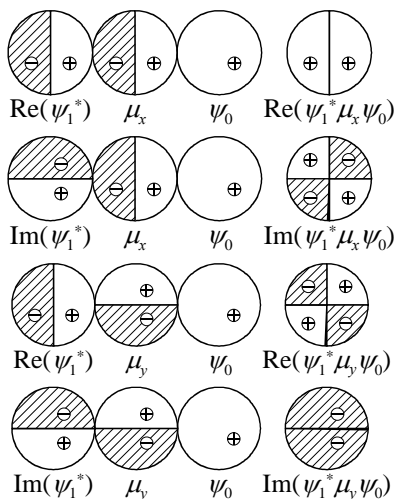


図 3.b4 $J=1 \leftrightarrow 0$ 純回転遷移

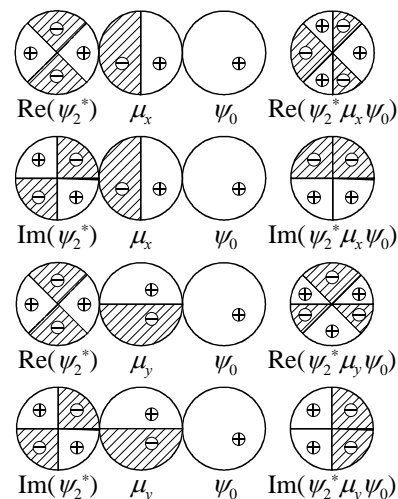


図 3.b5 $J=2 \leftrightarrow 0$ 純回転遷移

[散乱モーメントと回転ラマン散乱選択則]

図 3.b6: $\int \psi_1^* \Delta \alpha \psi_0 d\tau = 0$

図 3.b7: $\int \psi_2^* \Delta \alpha \psi_0 d\tau \neq 0$

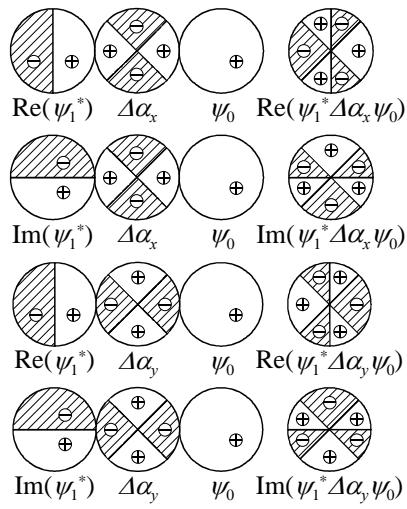


図 3.b6 $J = 1 \leftrightarrow 0$ 回転ラマン

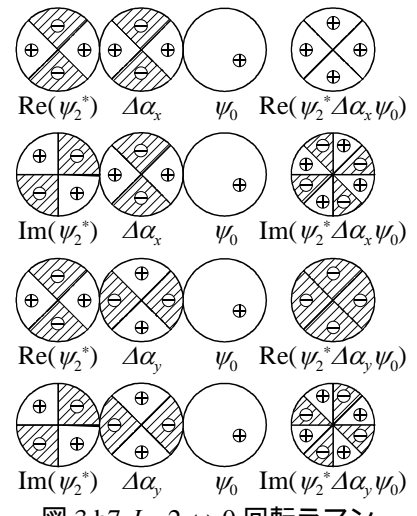


図 3.b7 $J = 2 \leftrightarrow 0$ 回転ラマン